

日本冷凍学会刊行図書目録

図書名	定価	会員価	重量 (郵送料換算)			
線 図						
アンモニアモリエル線図	¥ 20	—	50 g			
フロン12モリエル線図	¥ 20	—	50 g			
フロン22モリエル線図	¥ 20	—	50 g			
フロン22モリエル線図(特大版)	¥ 150	—	50 g			
湿り空気線図	¥ 30	—	50 g			
内田秀雄作						
抜刷、その他						
合本用ファイル(冷凍・冷凍空調技術)	各 ¥ 350	—	250 g			
冷凍すり身	¥ 50	—	50 g			
冷凍品の解凍	¥ 200	—	50 g			
冷冻食品製造の現況と問題点(シンポジウム)	¥ 300	—	50 g			
田中武夫著						
特集号 パックナンバー						
会誌は送料60円加算して下さい。						
冷凍・空気調和設備の(前編)	(43. 9) ¥ 300	熱の有効利用と冷凍空調	(51. 10) ¥ 1,000			
自動化と省力化	(後編)	(43. 10) ¥ 300	冷凍用止弁制御弁とその応用	(52. 2) ¥ 1,000		
産業特殊空気調和	(44. 11) ¥ 300	冷媒とブラインの物性	(52. 10) ¥ 1,000			
低温ターボ冷凍機応用	(45. 6) ¥ 300	冷凍空調における防災計画	(53. 3) ¥ 1,000			
食品の予冷・冷却	(47. 10) ¥ 400	冷凍空調機の騒音・振動と防止技術	(53. 7) ¥ 2,000			
最近の圧縮機の問題点と動向	(47. 12) ¥ 400	—	—			
大空間の空調	(48. 3) ¥ 400	"冷凍空調技術"	(52. 2) ¥ 600			
船内冷凍(前編)	(48. 12) ¥ 400	冷凍空調装置の設計例(前編)	(中篇) (52. 3) ¥ 600			
液体ヘリウム技術と超電導	(49. 3) ¥ 400	〃	(後編) (52. 4) ¥ 600			
冷凍食品取扱基準内外の動向	(49. 6) ¥ 400	ユニット型空調設備法規マニュアル	(52. 9) ¥ 600			
エネルギー有効利用と冷凍空調	(49. 12) ¥ 700	中形冷凍機とその取扱(前編)	(53. 6) ¥ 1,000			
世界の冷凍空調事情	(50. 9) ¥ 700	〃	(後編) (53. 7) ¥ 1,000			
冷凍50年と今後の展望	(50. 12) ¥ 700	—	—			
冷凍食品の配達	(51. 6) ¥ 700	—	—			
冷凍・冷凍空調技術パックナンバー販売あります。詳しくはお尋ね下さい。						
小包郵便料金						
地帶別 重量 別 料 金						
1kgまで 2kgまで 3kgまで 4kgまで 5kgまで 6kgまで						
東京都23区内	¥ 250	¥ 300	¥ 350	¥ 400	¥ 450	¥ 500
都下・神奈川・山梨・新潟・長野・富山 石川・千葉・埼玉・群馬・栃木・茨城・ 福島・宮城・山形・福岡・岐阜・三重・ 滋賀・愛知	¥ 350	¥ 420	¥ 490	¥ 560	¥ 630	¥ 700
秋田・岩手・青森・福井・京都・大阪・ 兵庫・奈良・和歌山・鳥取・岡山・広島 島根・香川・徳島・愛媛・高知	¥ 450	¥ 520	¥ 590	¥ 660	¥ 730	¥ 800
北海道・山口・九州・沖縄各地方	¥ 550	¥ 620	¥ 690	¥ 760	¥ 830	¥ 900
書籍小包………全国均一				備考		
250gまで 120円	500gまで 160円	1kgまで 200円	1.5kgまで 240円	2kgまで 280円		
小包速達料金………2kgまで 250円				2kgをこえ4kgまで 380円		

研究論文

食品凍結における熱移動の
数学的取扱い

Mathematical Treatment of Heat Transfer
During Freezing of Food

林 勇二郎*

Yujiro HAYASHI

山 口 邦 彦*

Kunihiro YAMAGUCHI

Summary

The accurate prediction of heat transfer during freezing of food is greatly useful for the determination of proper handling of procedures of frozen food. On freezing of aqueous solutions, solute is rejected at the solid-liquid interface and diffuses into liquid part in cells, so the solute concentration increases. This induces many characteristic phenomena in freezing of food, such as a depression of freezing temperature, an appearance of freezing zone, ice crystallization due to a constitutional supercooling, and etc.

In this paper, freezing of cellular material including aqueous solutions is investigated experimentally and analytically, as a fundamental study on freezing of food.

By experiments of freezing of the aqueous solutions of sodium chloride, three regions—a solid, a solid-liquid and a liquid—were recognized to coexist together in the freezing process. In the solid-liquid region, when freezing proceeds, freezing fronts were found to occur stepwise within several adjacent cells. Furthermore, the mechanism of the freezing process was clarified in connection with the constitutional supercooling of the solution. The analytical solutions for the freezing problem of saline solutions were obtained by an approximation of using apparent heat capacity involving latent heat of fusion released in the solid-liquid region.

1. 緒 言

食品の凍結過程における温度分布、凍結の状態等を正確に把握することは、食品鮮度とも関連して、最適な冷凍操作の条件を決定するうえで重要である。しかし、食品の凍結は、たとえそれらの熱物性がどんなに正確に与えられても、これまでの相変化を伴う伝熱問題のように簡単に扱えるものではない。これは、食品の構造やその中に含まれる成分の複雑さによることはもちろんあるが、むしろそれらの物性的処理の範囲を越えた、複雑な凍結挙動のためと言っても過言ではない。

なかでも、細胞の機械的損傷の大きな原因となる最大氷結晶生成帯の出現は、共融状態にある無機塩水溶液が、無数のセル群に閉じ込められている食品特有の現象の一つであり、食品工学のみならず熱工学的に

も極めて興味深いものである。一方、Plankの凍結相のごとく、凍結が結合水にまで及ぶ議論は、膠質的損傷が問題となる食品の凍結・解凍の可逆性、さらには生物学的な意味において重要な(1)。その他、物理的、生物学的にも凍結に伴う多くの問題があるが、これらはそれぞれの目的に応じた種々の観点から追究されねばならない。

本研究では、食品凍結において最も特徴的な役割を演ずる自由水の凍結に対象を限定し、セル状物体としての狭い領域に閉じ込められた塩類水溶液の凍結を、実験的、理論的に追究する。即ち、固一液共存の状態にある凍結帶の出現を、セル群に含まれる水溶液の凍結による溶質の排出・拡散、それによる凝固点降下および溶液の組成的過冷の現象と関連づけて明らかにす

* 金沢大学工学部機械工学科
原稿受付 昭和54年3月16日

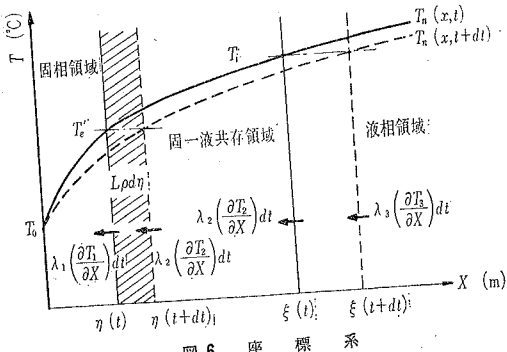


図 6 座標系

るものであり、対象となる水溶液の状態図で関係づけられる。本実験で試料として用いた食塩水溶液(図4)を例に採れば、それに対する k 値は図5の実線の勾配で与えられ、各初期濃度の平衡温度から共晶点温度まで変化する。初期濃度が比較的高い場合には範囲で変化する。初期濃度が比較的高い場合には k 一定とみなすことができるが、ここでは固一液共存帶の温度域での平均値として扱うことにする。即ち式(2)より共存帶での発熱が温度の時間変化と関係づかれることになる。このことは共存帶での温度変化が、場の熱容量に凍結による発熱を含めた見掛けの熱容量と関係づけた、エネルギー・バランスで凍結過程が処理されることを意味する(後出の式(5)参照)。

2.2.2 解析

溶液を含んだセル群の凍結を、固相、固一液共存相、液相の三領域にわたる熱伝導問題として扱い、その座標系を図6に示す。解析にあたり、前節の仮定に加えて下記のものを設ける。

$$T_1 = \frac{(T_{e'} - T_0) \operatorname{erfc} \frac{x}{2\sqrt{\kappa_1 t}} + T_0 \operatorname{erfc} \frac{n_1}{2\sqrt{\kappa_1}} - T_{e'}}{\operatorname{erfc} \frac{n_1}{2\sqrt{\kappa_1}} - 1} \quad (14)$$

$$T_2 = \frac{T_{e'} \operatorname{erfc} \frac{n_1}{2\sqrt{\kappa_2}} - T_{e'} \operatorname{erfc} \frac{n_2}{2\sqrt{\kappa_2}} - (T_{e'} - T_{i'}) \operatorname{erfc} \frac{x}{2\sqrt{\kappa_2 t}}}{\operatorname{erfc} \frac{n_1}{2\sqrt{\kappa_2}} - \operatorname{erfc} \frac{n_2}{2\sqrt{\kappa_2}}} \quad (15)$$

$$T_3 = T_{i'} - (T_{i'} - T_{e'}) \frac{\operatorname{erfc} \frac{x}{2\sqrt{\kappa_3 t}}}{\operatorname{erfc} \frac{n_2}{2\sqrt{\kappa_3}}} \quad (16)$$

式(12), (13)の係数 n_1, n_2 は、式(10), (11)の関係より次の連立方程式の解で与えられる。

$$\frac{\lambda_1(T_{i'} - T_0)e^{-\left(\frac{n_1}{2\sqrt{\kappa_1}}\right)^2}}{\sqrt{\kappa_1}\operatorname{erfc} \frac{n_1}{2\sqrt{\kappa_1}}} + \frac{\lambda_2(T_{e'} - T_{i'})e^{-\left(\frac{n_2}{2\sqrt{\kappa_2}}\right)^2}}{\left(\operatorname{erfc} \frac{n_1}{2\sqrt{\kappa_2}} - \operatorname{erfc} \frac{n_2}{2\sqrt{\kappa_2}}\right)\sqrt{\kappa_2}} = \frac{\sqrt{\pi}n_1\rho_3L\{1-f(T_{e'})\}}{2} \quad (17)$$

$$\frac{\lambda_2(T_{i'} - T_{e'})e^{-\left(\frac{n_2}{2\sqrt{\kappa_2}}\right)^2}}{\left(\operatorname{erfc} \frac{n_1}{2\sqrt{\kappa_2}} - \operatorname{erfc} \frac{n_2}{2\sqrt{\kappa_2}}\right)\sqrt{\kappa_2}} + \frac{\lambda_3(T_{i'} - T_{i'})e^{-\left(\frac{n_3}{2\sqrt{\kappa_3}}\right)^2}}{\sqrt{\kappa_3}\operatorname{erfc} \frac{n_2}{2\sqrt{\kappa_3}}} = 0 \quad (18)$$

- 4) 初期の温度および水溶液濃度は一定であり、冷却面はステップ的に一定温度に維持される。
- 5) 試料は半無限体であり、一次元的とする。
- 6) 凍結による体積変化および浮力による対流の影響はない。
- 7) 热物性は各領域で一定とし、凍結帶については固一液割合の分布を考慮した平均値とする。

[基礎方程式]

$$\frac{\partial T_n}{\partial t} = \kappa_n \frac{\partial^2 T_n}{\partial x^2} \quad (n=1, 2, 3) \quad \dots (3), (4), (5)$$

$$\kappa_2 = \lambda_2 / (C_2 \rho_2 + k \rho_3 L)$$

$$[初期・境界条件] \quad T_1(0, t) = T_0 \quad \dots (6)$$

$$T_1(\eta, t) = T_2(\eta, t) = T_{e'} \quad \dots (7)$$

$$T_1(\xi, t) = T_3(\xi, t) = T_{i'} \quad \dots (8)$$

$$T_3(x, 0) = T_{i'} \quad \dots (9)$$

$$\lambda_1 \left(\frac{\partial T_1}{\partial x} \right)_\eta - \lambda_2 \left(\frac{\partial T_2}{\partial x} \right)_\eta = \rho_3 L \{1 - f(T_{e'})\} \frac{d\eta}{dt} \quad \dots (10)$$

$$\lambda_2 \left(\frac{\partial T_2}{\partial x} \right)_\xi - \lambda_3 \left(\frac{\partial T_3}{\partial x} \right)_\xi = \rho_3 L f(T_{i'}) \frac{d\xi}{dt} \quad \dots (11)$$

各領域を、それぞれの初期・境界条件が一定である半無限体で近似することにより、解は Neumann 問題の拡張として与えられる。先ず、各領域の境界での温度一定の条件、式(7), (8)より、境界面位置 η, ξ は時間の平方根に比例する次式で表わされ、式(14)～(16)の温度分布の解を得る。

$$\eta = n_1 \sqrt{t}, \quad \xi = n_2 \sqrt{t} \quad \dots (12), (13)$$

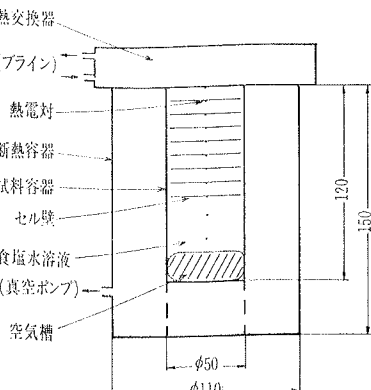


図 7 実験装置の主要部

実験は、セル幅 2, 4, 6, 8 mm、食塩水溶液の濃度 2, 5, 10 % と変化させ、共晶点温度(-21.2 °C)以下に維持された冷却面温度のもとで行われた。測定は、試料内の温度分布、凍結面位置の時間変化に対して行われ、同時に凍結の状態が写真により観察された。温度はセル壁中央に取付けられた 0.1 mm φc-c 熱電対を用いて測定された。また、セルがない場合の実験も合せて行った。この際、試料容器の上部に設けられた熱交換器による下方への冷却は、容器内での自然対流の影響を除外するうえで有効となる。

4. 実験結果と考察

4.1 凍結状態の観察

図8に濃度10%の場合を一例として、凍結状態の観察結果を示す。図より、試料全体が固相、固一液共存相、液相の3つの領域よりなっていることが判る。固一液共存域における個々のセルでは、固相と液相が予期したほど明確に区別できず、僅かに一部のセルでステップ的な凍結が確認されるにすぎない。しかしながら、食塩と氷が完全に分離する固相は、白濁した状態としてはっきりと識別できるものであり、セル内で固相、液相が領域的に分離して現われていなくても、完全に凍結しているものではない。これについては、溶質拡散に対するセル壁の効果が必ずしも十分でなく、組成的過冷による不安定界面の出現、それによる溶液を捕獲した状態での凍結が行われているためと考えられる。図9は、凍結がステップ的に現われている共存帶の一部を示したものであり、各セル内の固相割合が凍結方向に減少しているのが判る。また、セル幅が2 mmの場合には固一液界面が比較的安定であるのに対して、セル幅が大きくなるほど針状結晶からなる粗面

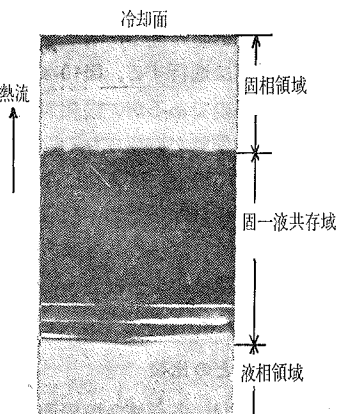


図 8 凍結状態(食塩水溶液濃度 10 wt %, セル幅 2 mm)

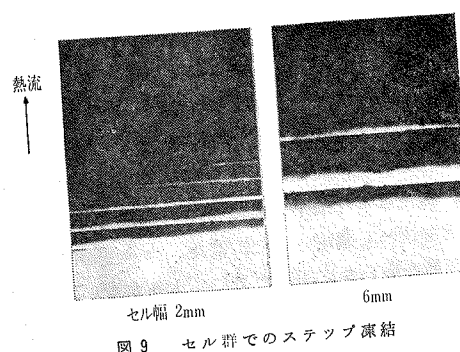


図9 セル群でのステップ凍結

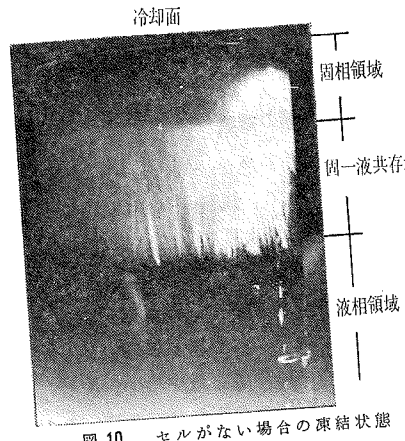


図 10 セルがない場合の凍結状況

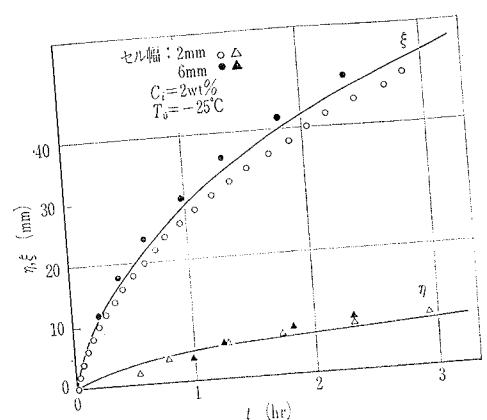
となり、組成的過冷による不安定性が強くなる傾向にあることが判る。

図10は、セル壁がない場合の凍結状態の観察結果を参考までに示したものである。実験条件は図8に示した場合と全く同じである。以下、その凍結の過程を簡単に述べる。冷却面温度をステップ的に降下させると同時に、非常に薄い平坦な氷の層が冷却面上に形成される。この過程はごく短時間のものであり、やがて小さな針状の氷結晶が伝熱面に垂直な方向に発生し、凍結面は粗雑な状態となる。時間の経過とともにこれらのは成長し、氷結晶の間隙に溶液を捕獲した固一液共存の状態で凍結は進行する。図10は、約1.5時間後の状態を示したものであるが、固相領域と液相領域の間に固一液共存の領域が確認される。

以上、セル壁がない場合には凍結による排水性質の拡散がセル壁で抑えられないため、組成的過冷による界面の不安定性が強く、固一液共存域の状態がセル群に含まれる水溶液の凍結の場合と大いに異なることが判る。

4.2 解析結果との比較

図11, 12および13, 14に各領域の境界面位置および試料内の温度分布に対する実験および解析結果を示す。



11. 用兩位置の時間的變化

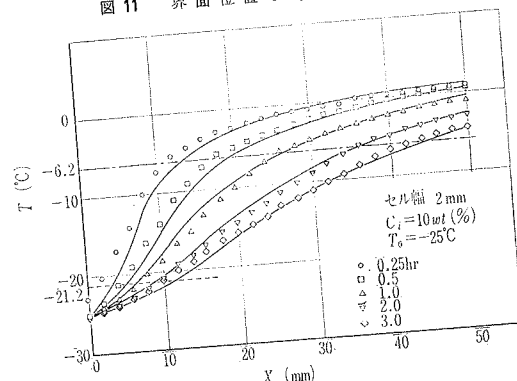


図 12 温度分布の時間的変化

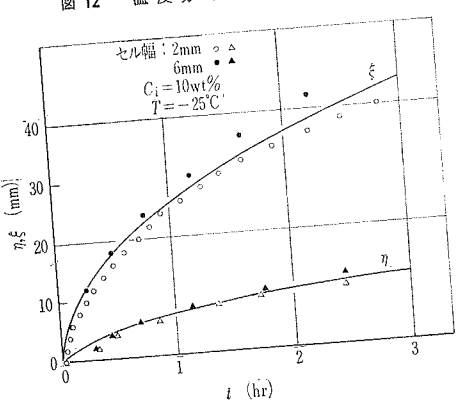


図 13 界面位置の時間的変化

図11は、固相領域と固一液共存域の境界 η および固一液共存域と液相領域の境界 ς の時間変化を、食塩水溶液濃度10%の場合について示したものである。 η は共晶温度となった位置として温度測定からも得られるが、完全に凍結した固相が白濁した状態で識別されるため、肉眼で観察された境界面位置を実験値とした。また、凍最先端の位置となる ς は、セル内で凍結が開始した点をプロットしたものである。実際には、 ς は時間的に不連続に変化するものであり、従ってここで

Formation) は、凍結によって最も数多く氷結晶が生ずるとされる、0 ~ -15°C の温度範囲にある領域をさし、氷結晶の析出による機械的損傷や種々の凍結変性によって品質に著しい影響を及ぼすものとして、重要な意味を有する^{(1),(8)}。即ち、この温度域の速かな通過が本来望まれるわけであるが、この領域は相変化潜熱の分散帯に相当するため、この取扱いは伝熱的にも難かしいものとなる。

しかしながら、食品冷凍の分野で頻繁に用いられているこの用語は、なかなか正確に理解できないようである。ここでは、前節までに得られた結果をもとに、最大水結晶生成帯に対する若干の考察を試みてみる。

5. 1 熱的平坦部としての最大氷結晶生成帶

食品に含まれる水溶液のため、食品の凍結はある温度域で生じ、況る固一液共存状態の凍結帶として進行することは前に述べた通りである。最大氷結晶生成帯を、そこで氷結晶出現の在り方は別にして、相変化潜熱の放散のために現われる熱的平坦部(thermal arrest)としての見方をするならば、凍結帶そのものに相当することになり、その温度範囲は食品に含まれる水溶液の濃度に対する平衡温度から共晶点温度までとなる。

図15は、食塩水溶液を含む半無限セル状物体の数点の場所における温度の時間変化を、図2のモデルにもとづく細胞内外の領域的差異を含めて解析し、その結果を示したものである。これより熱的平坦部として、最大氷結晶生成帯を $0\sim-15^{\circ}\text{C}$ の温度域で位置づけ

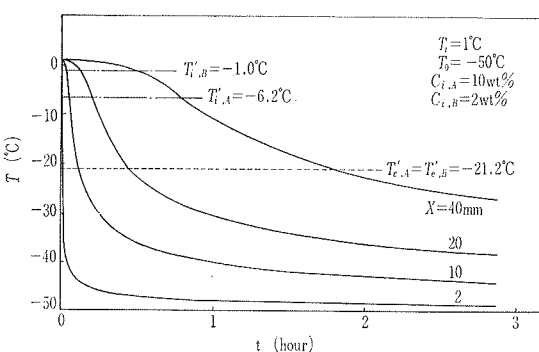


圖 15 漲結溫度曲線

5. 最大氷結晶生成帯についての熱的考察

表 1 物性值

$f(T_{\epsilon'}) = 1 - \frac{g(T_{\epsilon'})}{g(T_{\epsilon'})}$	$k = \frac{\partial}{\partial T} \left\{ \frac{g(T_{\epsilon'})}{g(T)} \right\}$	$\frac{\lambda_1}{c\rho_1}$ κ_1	$\frac{\lambda_2}{c\rho_2}$ κ_2	$\frac{\lambda_3}{c\rho_3}$ κ_3 (w/mk) (J/m ³ k) (m ² /s)
0.567	0.038	2.210 2.064.10 ⁶ 1.072.10 ⁻⁶	1.023 3.872.10 ⁶ 6.556.10 ⁻⁸	0.554 4.642.10 ⁶ 1.192.10 ⁻⁷

